



БИООРГАНИЧЕСКАЯ ХИМИЯ

Том 17 * № 12 * 1991

УДК 547.455.057:542.953.3

© 1991 г.

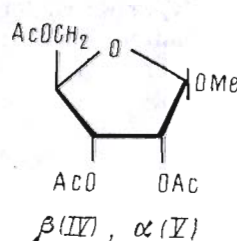
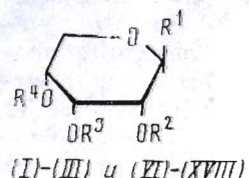
В. И. Бетанели, А. Я. Отт, Н. К. Кочетков

ХИМИЧЕСКИЙ СИНТЕЗ МЕТИЛ-(1→3)- И -(1→4)- -D-РИБОПИРАНОЗИЛ-β-D-РИБОПИРАНОЗИДОВ, (1→3)- И (1→4)-D-РИБОПИРАНАНОВ *

Институт органической химии им. Н. Д. Зелинского АН СССР, Москва

Исходя из D-рибозы методом тритил-цианоэтилиденовой конденсации синтезированы пары аномерных β-метилгликозидов D-рибопиранозил-D-рибопиранозы – (1→3)-связанный (выход 84%, соотношение $\beta : \alpha = 7,3 : 1$) и (1→4)-связанный (выход 84%, $\beta : \alpha = 4,3 : 1$), а также два D-рибопиранана – (1→3)-связанный (выход 90%, содержание α -связей 11%, средняя степень полимеризации (СП) 30) и (1→4)-связанный (выход 97%, содержание α -связей 18%, СП 27). Найдено, что химический сдвиг аномерного атома углерода в этих соединениях в зависимости от конфигурации при гликозидном центре меняется иначе, чем в известных олиго- и полисахаридах. Обнаружена внутримолекулярная циклизация 1,2-O-[1-(экзо-циано)этилиден]-α-D-рибопиранозы и ее 3-тритилового эфира, приводящая к трициклическим производным – 1,2,4-orthoацитил-α-D-рибопиранозе и 1,2,4-orthoацитил-3-O-трифенилметил-α-D-рибопиранозе соответственно.

Тритил-цианоэтилиденовая конденсация (ТЦК) является одним из наиболее общих методов создания О-гликозидной связи. Этим методом осуществлен химический синтез ряда ди-, олиго- и полисахаридов, включая сложные природные структуры [2]. Метод ТЦК характеризуется стереоселективностью – как правило, в качестве основных продуктов образуются 1,2-транс-гликозиды, однако в ряде случаев получались нестереорегулярные олиго- и полисахариды; порой при практической полной стереоселективности (стереоспецифичности) степень полимеризации продуктов была крайне низка [2]. Выяснение границ применимости этой синтетически важной реакции как с точки зрения эффективности, так и, в особенности, стереоспецифичности ее представляет актуальную задачу.



- (I) $R^1=OAc$, $R^2=R^3=R^4=Ac$
- (II) $R^1=Br$, $R^2=R^3=R^4=Ac$
- (III) $R^1=OMe$, $R^2=R^3=R^4=H$
- (VI) $R^1=OMe$, $R^2+R^3=>CMe_2$, $R^4=H$
- (VII) $R^1=OMe$, $R^2=H$, $R^3+R^4=>CMe_2$
- (VIII) $R^1=OMe$, $R^2+R^3=>CMe_2$, Ac
- (IX) $R^1=OMe$, $R^2=Ac$, $R^3+R^4=>CMe_2$
- (X) $R^1=OMe$, $R^2=R^3=H$, Ac
- (XI) $R^1=OMe$, $R^2=Ac$, $R^3=R^4=H$
- (XII) $R^1=OMe$, $R^2=Ac$, H , CPh_3
- (XIII) $R^1=OMe$, $R^2=Ac$, CPh_3 , H
- (XIV) $R^1=OMe$, $R^2=H$, $R^3=CPh_3$, $R^4=Ac$
- (XV) $R^1=OMe$, $R^2=CPh_3$, $R^3=H$, $R^4=Ac$
- (XVI) $R^1=OMe$, $R^2=R^3=Ac$, $R^4=CPh_3$
- (XVII) $R^1=OMe$, $R^2=R^4=Ac$, $R^3=CPh_3$
- (XVIII) $R^1=OMe$, $R^2=CPh_3$, $R^3=R^4=Ac$

$\beta(IV)$, $\alpha(V)$

* Предварительное сообщение см. [1].

Сокращения: ТЦК – тритил-цианоэтилиденовая конденсация, ЦЭП – 1,2-O-цианоэтилиденовое производное, Tol – толуил.

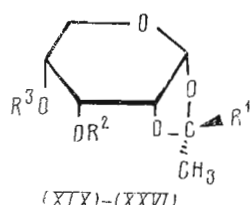
Настоящая работа посвящена синтезу дисахаридов и гомополисахаридов, производных *D*-рибопиранозы, шестичленный цикл которой обладает большой конформационной подвижностью [3, 4].

Исходные для получения синтонов в реакции ТЦК — тетраацетат (I), гликозилбромид (II) и метил- β -*D*-рибозид (III) синтезированы согласно известным, несколько модифицированным (см. «Экспериментальную часть») методикам, а строение их однозначно следовало из аналитических и спектральных (табл. 1 и 2) данных. Ацетобромрибоза (II) оказалась малоустойчивым соединением (например, детекция на ТСХ неоднозначна вследствие распада) и вводилась в реакцию немедленно после синтеза. Метил- β -*D*-рибопиранозид (III) получен по Фишеру (40 ч кипячения в абс. метаноле, содержащем 0,125% HCl) в качестве основного продукта. При кинетическом контроле (5 мин кипячения, 1% HCl) из реакционной смеси выделили (после ацетилирования) в основном ацетаты аномерных метил-*D*-рибофуранозидов (IV) и (V). С целью синтеза метил-2,3,4-три-*O*-ацетил- α -*D*-рибопиранозида мы воспроизвели методику [5], но продукт, свойства которого совпали с приведенными в указанной работе, оказался ортоэфиrom (XXII). Строение ортоэфира (XXII) подтвердили и спектры ЯМР (табл. 3 и 4).

Изопропилиденирование триола (III) в ацетоновом растворе 2,2-диметоксипропана (катализатор TsOH·H₂O) с выходом 97% приводит к смеси изомерных 2,3- и 3,4-ацеталей (VI и VII) в соотношении 1:1,7. При использовании [6] одного только ацетона (катализатор H₂SO₄) образуется аналогичная смесь ацеталей с несколько меньшим выходом (69%), тогда как чистый 2,2-диметоксипропан без ацетона (катализатор HCl в диоксане) дает 87% смеси, в которой преобладает (>59%) 3,4-производного [7]. Обработка ацетонидов (VI) и (VII) Ac₂O в Py привела к 4-*O*- и 2-*O*-ацетатам (VIII) и (IX), из которых гидролизом изопропилиденовой группировки были получены диолы (X) и (XI) соответственно.

Тритирирование вторичных гидроксильных групп с помощью Tr⁺ClO₄⁻/2,4,6-коллидин в дихлорметане [2] в вицинальных диолах типа (X) и (XI) редко протекает с высокой селективностью [8]. Чаще селективность тритирирования, которую можно было ожидать на основании конформационных представлений, не реализуется [9, 10], а может быть, даже противоположна ожидаемой [11]. Из 3,4-диола (XI) с выходом 81% получена смесь изомерных 4- и 3-монотритиловых эфиров (XII и XIII) в соотношении 4,4:1. Тритирирование 2,3-диола (X) привело к смеси, из которой выделены 3-(XIV) и 2-тритиловый эфир (XV) с выходом 58 и 19% соответственно.

Целевые гликозилируемые компоненты — диацетаты тритиловых эфиров (XVI) и (XVII), а также их 2-тритиловый изомер (XVIII) — получены ацетилированием (Ac₂O/Py) соответствующих продуктов тритирирования —monoацетатов (XII)–(XV). Легкость ацетилирования понижается в ряду monoацетатов тритиловых эфиров: 2-Ac, 4-Tr (XII); 4-Ac, 2-Tr (XV); 2-Ac, 3-Tr (XIII); 4-Ac, 3-Tr (XIV). Для полноты реакции в случае наиболее легко ацетилируемого (XII) достаточно 2–3 ч нагревания при 45° С, тогда как для эффективного ацетилирования производного (XIV) требуется еще и катализатор 4-(диметиламино)пиридин.



- (XIX) R¹=CN, R²=R³=Ac
 (XX) R¹=CN, R²=R³=H
 (XXI) R¹=COOMe, R²=R³=H
 (XXII) R¹=OMe, R²=R³=Ac
 (XXIII) R¹=CN, R²=H, R³=CPh₃
 (XXIV) R¹=CN, R²=CPh₃, R³=H
 (XXV) R¹=CN, R²=Ac, R³=CPh₃
 (XXVI) R¹=CN, R²=CPh₃, R³=Ac

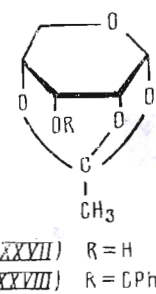


Таблица I

Данные спектров $^1\text{H-NMR}$ (δ , м.д.) моноциклических производных D -рибозы (I) – (XVIII)

Соединение*	H1	H2	H3	H4		H5a		H5b		OMe		OAc		$=\text{CMc}_2$		$=\text{CPH}_3$		Примечания	
				[$J_{4,5b}$]	[$J_{4,5b}$]	[$J_{5a,4}$]	[$J_{5b,4}$]	[$J_{5b,4}$]	[$J_{5b,4}$]	[$J_{5b,4}$]	[$J_{5b,4}$]	[$J_{5b,4}$]	[$J_{5b,4}$]	[$J_{5b,4}$]	[$J_{5b,4}$]	[$J_{5b,4}$]			
(I)	5,96 δ (4,6)	4,98 $\delta\delta$ (3,5)	5,42 τ (3,5)	5,09 m (5,7) [3,5]	3,64 dd (12,5)	3,97 dd	–	2,03 c	–	2,04 c	–	2,05 c	–	2,08 c	–	2,12 c	–	2,14 c	–
(II)	6,35 $\mu\eta$	5,29 $\delta\delta$ (3,9) $J_{2,1} 4,4$	5,64 τ (3,9)	5,28 m	4,00 dd (13,8) [4,6]	4,22 dd [1,6]	–	4,99 c	–	2,12 c	–	2,14 c	–	–	–	–	–	–	–
(III)	4,72 λ (5,2)	3,65 $\mu\eta\eta$ (2,9)	4,05 τ (2,9)	3,93 ddd	3,75 dd (14,6) [6,7]	3,88 dd [2,9]	3,52 c	–	–	–	–	–	–	–	–	–	–	–	–
(IV)	4,87 λ (0,8)	5,48 $\mu\eta$ (4,9)	5,28 $\mu\eta$ (6,7)	4,26 $\text{dd}\dd$	4,06 dd [5,0]	4,32 dd [4,2] [3,7]	3,34 c	2,02 c	–	2,06 c	2,07 c	–	–	–	–	–	–	–	–
(V)	4,99 $\eta\eta$ (4,4)	4,83 dd (7,2)	5,03 dd (3,4)	4,43 $\text{dd}\dd$	4,08 dd (14,3) [3,8]	4,23 dd [2,4]	3,30 c	1,96 c	–	1,99 $\text{c} \times 2$	–	–	–	–	–	–	–	–	–
(VI)	4,57 λ (3,5)	4,04 dd (6,2)	4,39 $\text{dd}\dd$ (4,2)	4,00 $\text{dd}\dd$ (7,8) [4,2]	3,60 dd (14,1)	3,84 dd	3,44 c	–	–	1,38 c	–	1,56 c	–	–	–	–	–	–	–
(VII)	4,61 λ (5,5)	3,64 m (3,7)	4,47 $\text{dd}\dd$ (6,7)	4,26 $\text{dd}\dd$ (3,0)	3,67 dd [3,0]	3,77 dd [12,7]	3,45 c	–	–	–	–	–	–	–	–	–	–	–	–
(VIII)	4,55 λ (3,0)	4,07 dd (6,1)	4,54 dd (3,6)	5,24 $\text{dd}\dd$ (5,3)	3,72 dd (11,0)	3,84 dd [5,5]	3,47 c	–	–	–	–	–	–	–	–	–	–	–	–
(IX)	4,74 λ (6,4)	4,89 dd (3,2)	4,56 dd (7,2)	4,30 $\text{dd}\dd$ (1,6)	3,68 dd [2,4]	3,79 dd [13,1]	3,42 c	–	–	–	–	–	–	–	–	–	–	–	–
(X)	4,63 λ (3,5)	3,58 $\text{dd}\dd$ (3,5)	3,97 τ (3,5)	4,94 m	3,70 dd [12,3] [4,0]	3,78 dd [1,7]	3,44 c	–	–	–	–	–	–	–	–	–	–	–	–
																			2,37 λ , $J_{\text{OH},4}$ 8,0, HO-4
																			2,70 λ , $J_{\text{OH},2}$ 6,5, HO-2

Таблица I (окончание)

Соединение *	H1	H2	H3	H4 [J _{4,5b}]	H5a [J _{5a,4}]	H5b [J _{5b,4}]	—OMe	—OAc	=CMe ₂	—CPPh ₃	Примечание
(XI)	4,64 ^д (3,4)	4,84 ^{ддд} (3,1)	3,95 ^т (3,5)	3,74 ^м	3,69 ^{дд} (14,0) [3,4]	3,80 ^{дд} [1,6]	3,35с	2,14с	—	—	2,53 ^д , J _{OH,4} 10,5, OH-4; 2,77 ^д , J _{OH,3} 8,6, HO-3; в CDCl ₃
(XII)	4,68 ^д (6,1)	4,59 ^{дд} (3,1)	3,64 ^{дд} (7,0)	3,69 ^{ддд} (3,6)	3,49 ^{дд} (14,3)	3,58 ^{дд} [7,6]	3,38с	2,48с	—	—	2,52 ^д , J _{OH,3} 3,9, HO-3
(XIII)	4,54 ^д (1,7)	4,72 ^{ддд} (3,5)	3,98 ^т (3,5)	2,65 ^м	3,46 ^{дд} [2,0]	3,56 ^{дд} [12,5]	3,24с	2,27с	—	—	2,89 ^д , J _{OH,4} 6,2, HO-4
(XIV)	4,54 ^д (1,8)	2,78 ^м	3,97 ^т (3,4)	4,69 ^м	3,60 ^д (4,7)	3,60 ^д [4,7]	3,22с	2,27с	—	—	7,32 ^м , 9Н, 7,54 ^{дд} , 6Н
(XV)	4,22 ^д (2,3)	3,48 ^{дд} (4,1)	3,70 ^{ддд} (4,1)	4,92 ^{дд}	3,76 ^{дд} [2,3]	3,91 ^{дд} [12,5] [3,4]	3,42с	2,12с	—	—	7,31 ^м , 9Н, 7,60 ^{дд} , 6Н
(XVI)	4,55 ^д (7,0)	4,66 ^{дд} (3,0)	5,46 ^т (3,0)	3,81 ^{ддд}	2,74 ^{дд} [14,6] [4,5]	3,37 ^{дд} [9,1]	3,37с	2,08с	—	—	7,30 ^м , 9Н, 7,50 ^{дд} , 6Н
(XVII)	4,53 ^д (1,6)	4,34 ^{ддд} (3,9)	4,08 ^т (3,9)	4,35 ^м (1,4)	3,60 ^т	3,60 ^т	3,24с	2,22с	—	—	7,30 ^м , 9Н, 7,48 ^{дд} , 6Н
(XVIII)	3,47 ^д (4,5)	3,79 ^м	5,44 ^м (5,0)	5,17 ^{дд}	3,79 ^{дд} [12,8] [2,4]	3,87 ^{дд} [12,1]	3,02с	2,10с	—	—	7,30 ^м , 9Н, 7,60 ^д , 6Н

* Спектры сняты в CDCl₃, для соединений (X), (XI) в CDCl₃+CD₃OD, для (III) — в D₂O. Наблюданная мультиплетность сигналов: ^с — сигналет, ^д — дублет, ^{дд} — дублет дублетов дублетов, ^{ддд} — тройлет, ^м — мультиплет, в круглых скобках приведены KCCB (J_i, i + 1), все KCCB даны в Гц.

Таблица 2

Данные спектров ^{13}C -ЯМР (CDCl_3 , δ , м.д.) моноциклических производных D -рибозы (I), (II), (IV)–(XVII)

Соединение	C1	C2	C3	C4	C5	$-\text{OCH}_3$	$-\text{CH}_3\text{CO}-$	$-\text{MeCO}-$	$=\text{C}(\text{CH}_3)_2$	$=\text{CMe}_2$	$=\text{CPH}_3$	$=\text{C}(\text{C}_6\text{H}_5)_3$
(I)	90,6	67,2	66,1	66,1	62,6	—	20,5 20,7	168,6 169,3 169,6	—	—	—	—
(II)	85,4	70,4	63,6	66,0	65,3	—	20,5 20,7	169,55	—	—	—	—
(IV)	106,4	74,55	74,4	78,5	64,3	55,1	20,4 20,45 20,8	169,6×2 170,6	—	—	—	—
(V)	101,4	70,6	69,7	79,3	63,3	55,35	20,3 20,5×2	189,7 170,2 170,35	—	—	—	—
(VI)	100,4	75,25	73,3	64,25	62,5	56,0	—	—	25,3 26,8	109,8	—	—
(VII)	101,3	68,3	73,2	72,9	61,9	55,65	—	—	25,1 26,4	109,7	—	—
(VIII)	100,7	75,55	74,65	66,0	59,6	56,2	21,4	170,3	25,6 26,95	140,6	—	—
(IX)	98,6	70,4	74,7	73,5	62,25	55,6	21,2	170,3	25,2 26,4	140,3	—	—
(X)	101,6	70,3	65,2	71,2	60,3	55,8	21,2	—	—	—	—	—

Таблица 2 (окончание)

Соединение	C ₁	C ₂	C ₃	C ₄	C ₅	-OCH ₃	$\underline{\text{C}}\text{H}_3\text{CO}-$	Mes-	=C(CH ₃) ₂	=CMe ₂	-CPPh ₃	-C(C ₆ H ₅) ₃
(XI)	98,9	71,8	64,8	68,6	63,4	55,6	24,0	172,7	-	-	-	-
(XII)	98,95	71,2	67,65	69,5	64,8	56,3	24,1	170,0	-	-	87,9	127,6; 128,2; 128,6; 144,2
(XIII)	99,2	71,2	66,3	68,4	62,9	55,4	24,2	170,0	-	-	**	127,5; 128,1; 128,8; 129,2; 144,2
(XIV)	101,9	71,4	66,3	69,5	60,8	55,2	24,3	169,9	-	-	87,9	127,0; 127,4; 128,8; 144,2
(XV)	99,5	71,7	64,6	70,4	60,2	55,4	24,3	175,4	-	-	88,4	127,5; 128,1; 129,0; 144,6
(XVI)	99,4	69,7	70,2	67,9	62,9	56,3	20,8	169,6	-	-	87,6	127,5; 128,0; 128,75; 144,4
(XVII)	99,2	69,8*	65,2	69,3*	60,9	55,2	24,1	170,2	-	-	87,5	127,4; 127,8; 127,95; 144,6
(XVIII)	100,05	70,3	66,9	67,8	64,0	55,35	24,4	169,9	24,3	-	87,85	127,4; 127,8; 129,5; 144,6

* Отнесение сигналов может быть обратным.
** Сигнал малой интенсивности.

Данные спектров $^1\text{H-NMR}$ (δ , м.д.) циклических производных α -D-рибоширанозы (XIX)–(XXXVIII)*

Соединение	H_1	H_2 [$J_{2,4}$]	H_3 [$J_{3,2}$]	H_4 [$J_{4,6b}$]	H_{5a} [$J_{5a,4}$]	H^{5b} [$J_{5b,4}$]	$\text{H}_3\text{C}-\overset{\text{l}}{\underset{ }{\text{C}}}-$	$-\text{OAc}$	$-\text{CPPh}_3$	Примечания
(XIX)	5,59д (3,9)	4,48ддд (4,9)	5,19дд (5,0) [3,2]	5,26ддд (4,9)	3,92дд (4,9) [13,2]	3,92дд (4,9)	1,94с	2,10с 2,13с	—	
(XX)	5,52д (3,5)	4,40дд (4,5) [1,0]	3,97дд (5,0)	3,92дд (4,7) [4,1]	3,68дд (12,1)	3,72дд	1,85с	—	—	3,56, $J_{\text{OH},3}$ 5,8; 3-OH **; 4,19п, $J_{\text{OH},3}$ 8,7; 4-OH **
(XXI)	5,34д (2,7)	4,07т (2,7)	3,91т (2,7)	3,81м	3,62дд (12,2) [2,6]	3,77дд [3,7]	1,59с	—	—	3,67с, 3Н, –COOME
(XXII)	5,54д (3,6)	4,47ддд (3,6)	5,11дд (4,0)	5,22ддд (4,0)	3,82дд [13,3] [3,9]	3,92дд [4,1] [13,3]	1,79с	2,43с 2,45с	—	3,30с, 3Н, –OMe
(XXIII)	5,47д (4,3)	4,47дд (3,5)	3,76м	4,01дд $J_{4,3}$ 5,7	2,97дд [42,5] [5,5]	3,39дд [6,2]	2,04с	—	7,33м, 9Н 7,54дд, 6Н	2,93д, $J_{\text{OH},3}$ 10,3; 3-OH
(XXIV)	5,41д (3,7)	3,44ддд	3,85дд (4,9) [3,3]	3,90м	3,51дд [12,7] [4,6]	3,70дд [4,8]	1,96с	—	7,29м, 9Н 7,53дд, 6Н	2,80д, $J_{\text{OH},4}$ 6,4; 4-OH
(XXV)	5,49д (4,3)	4,46дд	5,07дд (4,8) [3,2]	4,03дд [4,8] [3,2]	2,76дд [4,9] [12,3] [5,7]	3,22дд [12,3] [5,7]	2,03с	2,24с	7,39м, 9Н 7,54дд, 6Н	
(XXVI)	5,09д (4,1)	3,45м (3,4)	3,91дд (5,4)	4,90ддд (5,1)	3,65дд (5,4)	1,92с	2,24с	7,30м, 9Н 7,54дд, 6Н	—	2,96д, $J_{\text{OH},3}$ 12,0; 3-OH
(XXVII)	5,78д (4,8)	4,51ддд (3,5) [2,4]	3,68дд (1,0)	4,04м	4,04д [4,5] (11,0)	4,24д	1,68с	—	—	* Растворитель — CDCl_3 , для соединений (XX), (XXI) — $(\text{CD})_3\text{CO} + \text{D}_2\text{O}$, обозначения — см. примечание к табл. 1.
(XXVIII)	5,52д (5,0)	4,12м (2,5)	3,62м (3,5)	2,92м	3,45дд (11,5) [4,3]	3,90д	1,74с	—	7,30м, 9Н 7,55д, 6Н	** Отнесение сигналов может быть обратным.

Таблица 4

Данные спектров ^{13}C -ЯМР (δ , м.д.) циклических производных α -D-рибопиранозы (XIX)–(XXVI), (XXVII) *

Соединение	C ₁	C ₂	C ₃	C ₄	C ₅	H ₃ C	$\overset{\text{C}}{\underset{ }{\text{—}}}$	—CN	CH ₃ CO—	CH ₃ CO—	—CPH ₃	—C(C ₆ H ₅) ₃	—C(OCH ₃) ₃	Примечания
(XIX)	98,0	74,95	65,6	64,2	62,6	25,2	100,5	116,75	20,5 20,7	169,7 170,5	—	—	—	
(XX)	98,8	79,3	66,0	65,5	65,5	25,7	100,8	115,7	—	—	—	—	—	
(XXI)	96,3	78,7	66,84	66,84	65,9	24,4	107,1	—	—	—	—	—	—	54,2 (OCH ₃), 170,6 (CO)
(XXII)	97,8	74,3	67,0	65,0	62,6	23,4	124,0	—	20,7 20,85	170,0 170,5	—	—	—	49,9 (OCH ₃)
(XXIII)	98,1	77,3	65,7	66,55	63,4	25,2	100,2	117,2	—	—	88,3	127,7; 128,0; 128,9; 144,2	127,7; 143,7	
(XXIV)	97,7	77,9	67,8	65,5	65,55	25,6	100,2	116,7	—	—	88,6	128,3; 128,6;		
(XXV)	98,3	74,7	67,55	66,0	63,4	25,3	100,0	117,1	21,1	169,8	87,8	127,5; 127,9; 129,1; 144,4		
(XXVI)	97,8	76,45	67,0	66,5	63,1	25,3	100,1	116,8	21,1	170,7	88,6	127,4; 128,3; 128,7; 143,8		
(XXVII)	98,4	76,5	63,9	72,2	69,4	20,8	118,4	—	—	—	88,4	127,5; 128,3; 128,7; 144,4		

* Спектры сняты в CDCl₃, для соединений (XXI), (XXII) — в (CD₃)₂CO+D₂O,

Синтез гликозилирующего компонента – 1,2-О-цианоэтиленового производного (ЦЭП) рибозы (XIX) осуществили по методу [12] реакцией гликозилбромида (II) с NaCN, используя меньший, чем в [12], избыток последнего. Выход кристаллического диацетата (XIX) составил 75 %, а его аналитические и спектральные характеристики (табл. 3 и 4) не отличались от литературных [4]. При дезацетилировании ЦЭП (XIX) по Земплену необходим тщательный контроль за ходом реакции, как это описано для тиоортогофиров [13]. Целевой диол (XX) можно получить с высоким выходом, строго соблюдая время щелочной обработки (1–2 мин) исходного ЦЭП (XIX). В противном случае основным продуктом дезацетилирования окажется метоксикарбонилэтиленовое производное (XXI), которое можно выделить с выходом 66 %. Ранее вещества типа (XXI) получали в более жестких щелочных или кислых условиях [14].

Диол (XX) желательно вводить в последующие превращения в виде высущенной массы, так как в растворах это производное неустойчиво. Так, образец диола (XX) после съемки спектров ЯМР и последующего упаривания раствора в присутствии метанола превратился в 1,2,4-ортогидроксикарбонилэтилен (XXVII). Строение трициклического ортоэфира (XXVII) однозначно следовало из данных спектра ^1H -ЯМР (табл. 3). Аналогичные превращения наблюдали для 1,2-О-[1-(экзо-циано)этилен]- и 1,2-О- $[\alpha$ -(экзо-циано)бензилиден]- β -L-арабинофuranоз [15].

Для синтеза мономеров (XXV) и (XXVI), необходимых для последующей поликонденсации, бициклический 3,4-диол (XX) подвергли парциальному тритилированию как это описано выше для моноциклических диолов (X) и (XI). Общий выход продуктов тритилирования (XXIII) и (XXIV) составил 66 %, соотношение 1 : 1,3 в пользу 3-тритилового эфира (XXIV), в то время как для моноциклического 3,4-диола (XI) характерна обратная реакционная способность (см. выше). Интересно, что 3-тритиловый эфир ЦЭП (XXIV) претерпевает внутримолекулярную циклизацию в 1,2,4-ортогидроксикарбонилэтилен (XXVIII) подобно диолу ЦЭП (XX). Эта реакция происходила уже при попытке перекристаллизовать соединение (XXIV) из метанола или этанола при $\sim 20^\circ\text{C}$. Строение тритилированного ортоэфира (XXIV) подтверждается спектральными данными (табл. 3 и 4). Ацетилированием ($\text{Ac}_2\text{O}/\text{Py}$) тритиловых эфиров (XXIII) и (XXIV) получены целевые мономеры – ацетаты тритиловых эфиров ЦЭП (XXV) и (XXVI), строение которых однозначно следовало из аналитических и спектральных данных (табл. 3 и 4).

Далее методом ТЦК [2] мы осуществили гликозилирование (схема 1) ацетатом (XIX) тритиловых эфиров (XVI) и (XVII). В реакцию вводили небольшой (до 10 %) избыток тритилового эфира в присутствии 10 % катализатора ($\text{Tr}^+\text{ClO}_4^-$) и через 17–20 ч при $\sim 20^\circ\text{C}$ ее останавливали водным пиридином. Продукты исследовали методами ТСХ, ^1H - и ^{13}C -ЯМР (табл. 5 и 6).

Гликозилирование вторичных тритиловых эфиров (XVI) и (XVII) протекает эффективно – препаративные выходы производных дисахаридов (XXIX)+(XXXI) и (XXXIII)+(XXXV), однородных по данным ТСХ, в обоих случаях составили 84 %. Однако, по данным ^1H -ЯМР (табл. 5), хроматографически однородные продукты дисахаридной зоны представляют собой смеси аномерных β -метилрибопиранозилбиозидов с преобладанием 1,2-транс-дисахарида. В (1 \rightarrow 4)-связанном β -аномере (XXIX) содержится 19 % примеси α -дисахарида (XXXI), тогда как в (1 \rightarrow 3)-связанном (XXXIII) – 13 % α -аномера (XXXV). Сходные результаты получены ранее в синтезах методом ТЦК дисахаридных производных двух других пентапираноз. Так, полный ацетат D -Xyl p -(1 \rightarrow 3)- β - D -Xyl p -OMe (выход 93 %) содержал 6 % 1,2-циклизомера (α) [16], а D -Xyl p -(1 \rightarrow 4)- β - D -Xyl p -OMe (91 %) – до 30 % α -дисахарида [17]. Аналогично L -Ara p -(1 \rightarrow 3)- α - L -Ara p -OMe (73 %) содержал 20 % 1,2-циклизомера (β), а L -Ara p -(1 \rightarrow 4)- α - L -Ara p -OMe (83 %) – 10 % β -дисахарида [10].

После дезацетилирования каждая смесь аномерных β -метилрибопиранозилбиозидов также представляла собой хроматографически однородную (ТСХ) зону с прежним соотношением аномеров: (XXX)+(XXXII) и

Таблица 5

Данные спектров ^1H -ЯМР (δ , м.д.) метил- $(1\rightarrow 3)$ - и $(1\rightarrow 4)$ -связанных (XXXIII) – (XXXVI) D -рибонуклеиновых кислот

Соединение, растворитель	Остаток	H1	H2	H3	H4	$\text{H}_{5\alpha}$ [$J_{5\alpha,4}$]	$\text{H}_{5\beta}$ [$J_{5\beta,4}$]	$-\text{O}\text{Me}$	$-\text{OAc}$
(XXXIX) CDCl_3	$-\beta\text{-Ribp-O}\text{Me}$	4,60 τ (4,4)	4,27 ddd (3,3)	5,34 τ (3,0)	3,91 dd (6,3)	3,74 dd (6,3)	3,82 dd (11,8) [3,2]	3,39 c	1,98 c
	$\beta\text{-Ribp-}$	4,87 τ (2,9)	5,03 ddd (4,0)	5,28 τ (3,2)	5,12 m	3,72 dd (3,5)	4,12 dd (12,6) [2,3]		2,02 c 2,03 c
	$-\beta\text{-Ribp-O}\text{Me}$	4,58 (6,6)	4,74 dd (2,9)	5,49 τ (2,9)	3,95 m	3,59 dd (14,5) [3,5]	3,74 m		2,06 c 2,07 c 2,08 c
(XXXI), CDCl_3	$\alpha\text{-Ribp-}$	4,79 τ (3,0)	4,94 τ (3,0)	5,32 τ (3,0)	5,00 m (6,7)	3,75 m	4,69 dd (12,8) [2,5]	3,43 c	1,98 c
	$-\beta\text{-Ribp-O}\text{Me}$	4,65 τ (3,7)	4,94 dddd (3,1)	4,20 τ (3,9)	5,08 m	3,73 dd (4,7)	3,88 dd (12,7) [3,0]	3,40 c	
	$\beta\text{-Ribp-}$	4,87 τ (3,0)	4,77 dd (3,7)	5,21 τ (3,4)	5,11 m	3,76 dd (3,4)	4,11 dd (12,6) [2,3]		1,98 c 2,02 c 2,06 c
(XXXIII) CDCl_3	$-\beta\text{-Ribp-O}\text{Me}$	4,70 τ (4,3)	4,94–4,99	4,47 τ (3,0)	5,05–5,14	3,78 m (4,0)	3,96 dd (12,5) [3,0]	3,39 c	2,08 $\text{c} \times 2$ 2,09 c 2,11 c
	$\alpha\text{-Ribp-}$	4,86 τ (3,0)	5,00 τ (3,0)	5,31 τ (3,0)	5,05–5,14	3,54 dd (4,5) [4,0]	4,06 m		

Таблица 5 (окончание)

Соединение, растворитель	Оператор	H1	H2	H3	H4	H_{5a}	H_{5b}	ΔOme	ΔOAc
(XXX)	- β -Rib-OMe	4,63 δ (5,3)	3,55 δ (3,1)	4,08 τ (3,1)	3,94 $\delta\delta\delta$ (7,0)	3,76 $\delta\delta\delta$ (12,2)	3,82 M	3,48c	-
	β -Rib- p -	4,84 δ (5,2)	3,65 $\delta\delta\delta$ (3,5)	4,02 $\delta\delta$ (2,9)	3,86 M	3,67 $\delta\delta\delta$ (12,9)	3,89 M	-	-
+ (XXXII), D ₂ O	- β -Rib-OMe	4,65 π (5,5)	3,55 $\delta\delta$ (3,6)	4,08 M (2,6)	3,95 M	3,86-3,73	-	3,43c	-
	α -Rib- p -	4,88 π (3,4)	3,76 $\delta\delta\delta$ (3,1)	4,02 (3,1)	3,82 M (6,8)	3,60 M	3,81 M	-	-
(XXX)	- β -Rib-OMe	4,52 δ (4,4)	3,41 τ (3,3)	3,91 M	3,82 M	3,71 M	3,84 M	3,36c	-
	β -Rib- p -	4,75 δ (4,8)	3,50 M	3,92 M	3,71 M	3,61 $\delta\delta\delta$ (11,2) [6,4]	3,71 M	-	-
(XXXII), CD ₃ OD	- β -Rib-OMe	4,60 δ (2,5)	3,53 M	3,76 M	**	**	**	3,42c	-
	α -Rib- p -	4,73 δ (3,2)	3,52 M	3,96 M	3,82 M	3,59-3,74	-	-	-
(XXXIV)	- β -Rib-OMe	4,96 δ (4,7)	3,72 $\delta\delta$ (4,0)	4,06 $\delta\delta$ (2,7)	3,88 M	3,67 M (13,5) [7,5]	3,91 $\pi\pi$ (3,4)	3,40c	-
	β -Rib- p -	4,70 δ (3,5)	3,76 τ (3,5)	4,00 τ (2,6)	4,04 M	3,74 $\delta\delta\delta$ (4,3)	3,84 $\delta\delta\delta$ (12,4) [2,6]	-	-
+(XXXVI), D ₂ O	- β -Rib-OMe	4,75 δ (3,9)	3,78-3,82 M	3,98 M	3,88-3,99	3,56 $\delta\delta\delta$ (41,3) 3,55 $\delta\delta\delta$ (41,6) [2,6]	3,88-3,99	3,41c	-
	α -Rib- p -	4,85 δ (2,5)	3,91 τ (2,7)	3,79-3,88	-	3,84 M (2,0)	-	-	-

* Обозначение см. примечание к табл. 4.
** Сигналы не видны из-за перекрывания с основными от (XXXX).

Таблица 6

Данные спектров ^{13}C -ЯМР (δ , м.д.) метил-(1 \rightarrow 3)- (XXXIII)–(XXXVI)
и -(1 \rightarrow 4)-связанных (XXIX)–(XXXII) D-рибопиранозил-D-рибопиранозидов

Соединение, растворитель	Остаток	C1	C2	C3	C4	C5	$-\text{OCH}_2-$	$\text{CH}_3\text{CO}-$	$\text{MeCO}-$
(XXIX)	β -Ribp- β -Ribp-OMe	97,2 99,2	68,1 68,6	65,3 67,4	66,6 71,5	61,4 66,9	55,8	20,45 20,65	169,5 169,9
	α -Ribp- β -Ribp-OMe	95,3 99,2	68,1 69,1	67,2 68,6	67,2 70,7	65,7 62,8	56,1		170,0
(XXX), D_2O	β -Ribp- β -Ribp-OMe	100,6 102,85	71,5 71,3	69,0 68,8	69,2 75,1	64,9 61,6	57,5	—	—
	β -Ribp- β -Ribp-OMe	100,75 103,3	72,2 71,9	69,0 68,6	70,0 75,6	65,2 64,2	56,2	—	—
(XXXII), D_2O	α -Ribp- β -Ribp-OMe	101,05 103,0	69,9 71,3	71,3 67,6	67,8 78,5	63,3 61,2	57,0	—	—
	α -Ribp- β -Ribp-OMe	102,05 103,8		59,9; 63,0; 70,1; 72,5;	67,3; 68,1; 80,7		55,6	—	—
(XXXIII) +(XXXV) **, CDCl_3	β -Ribp- β -Ribp-OMe	97,35 99,1	67,4 68,9	65,3 70,1	66,7 66,1	61,8 60,5	55,65	20,5 20,75	169,3 170,1
	α -Ribp- β -Ribp-OMe	95,0 99,3	67,9 67,9	65,7 70,4	66,8 67,1	61,2 61,6	55,7		
(XXXIV) +(XXXVI) ***, D_2O	β -Ribp- β -Ribp-OMe	100,9 102,8	71,7 71,1	68,7 74,55	69,2 68,0	64,9 64,6	56,8	—	—
	α -Ribp- β -Ribp-OMe	100,9 102,8	71,7 70,8	68,7 75,3	69,85 68,3	64,8 63,35	56,5	—	—

* Большинство сигналов отнесено с учетом эффектов ацетилирования — сравнение спектров (XXX) и (XXIX).

** Большинство сигналов отнесено с учетом эффектов гликозилирования — сравнение спектров (XXIX) и (XXXI).

*** Большинство сигналов отнесено с учетом эффектов ацетилирования — сравнение спектров (XXXII) и (XXXIV).

(XXXIV)+(XXXVI) соответственно. Анализ спектров ^{13}C -ЯМР свободных продуктов гликозилирования (XXX), (XXXII), (XXXIV) и (XXXVI) показывает (табл. 6), что химический сдвиг атома C1' не является диагностичным для отнесения этих рибозилрибозидов к 1,2-транс- или 1,2-цик-типу, как это обычно имеет место для большинства дисахаридов [18, 19]. В данном случае характерными для оценки наличия и количества примесей аномерных продуктов гликозилирования (XXXII) и (XXXVI) являются химические сдвиги углеродных атомов гликозилированного звена, т. е. δ 78,5 (CA) для (α 1 \rightarrow 4)-дисахарида (XXXII) и 75,3 (C3) для (α 1 \rightarrow 3)-дисахарида (XXXVI).

Поликонденсацию (схема 2) мономеров (XXV) и (XXVI) проводили в условиях, аналогичных синтезам дисахаридов. Через 17 ч при $\sim 20^\circ\text{C}$, по данным ТСХ, весь мономер прореагировал, а углеводсодержащие продукты, не дававшие характерного для тритиевых эфиров желтого окрашивания, представляли собой смесь олигомер-гомологов (XXXVII) и (XL), проявлявшихся в виде черной полосы. Прозрачную ярко-желтую реакционную смесь обесцветили водным пиридином, а продукты (XXXVII) и (XL) выделили колоночной хроматографией практически с количественными выходами.

В спектре ^{13}C -ЯМР продукта (XXXVII) имелись основные сигналы с хим. сдвигами 97,7 (C1), 68,7 (C2), 67,65 (C3), 71,6 (C4), 61,6 (C5).

Схема 1

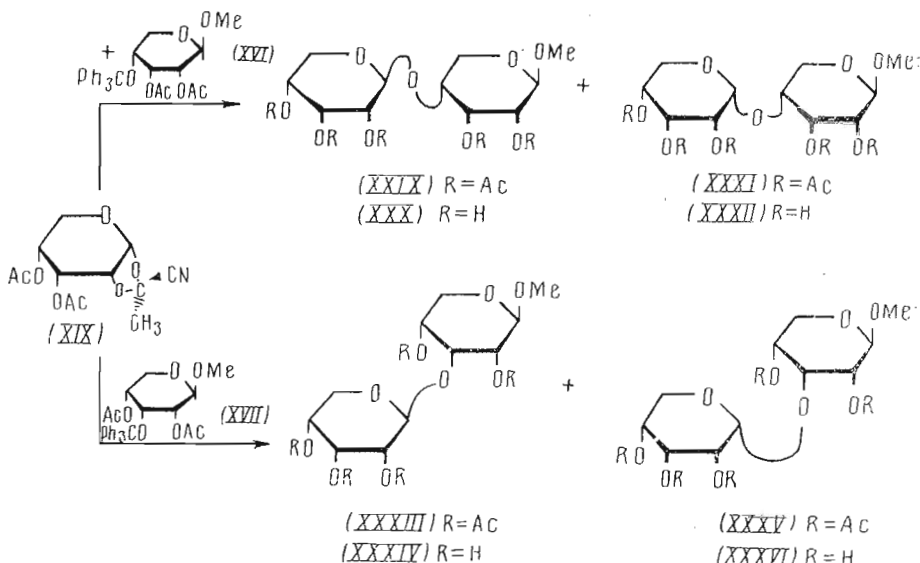
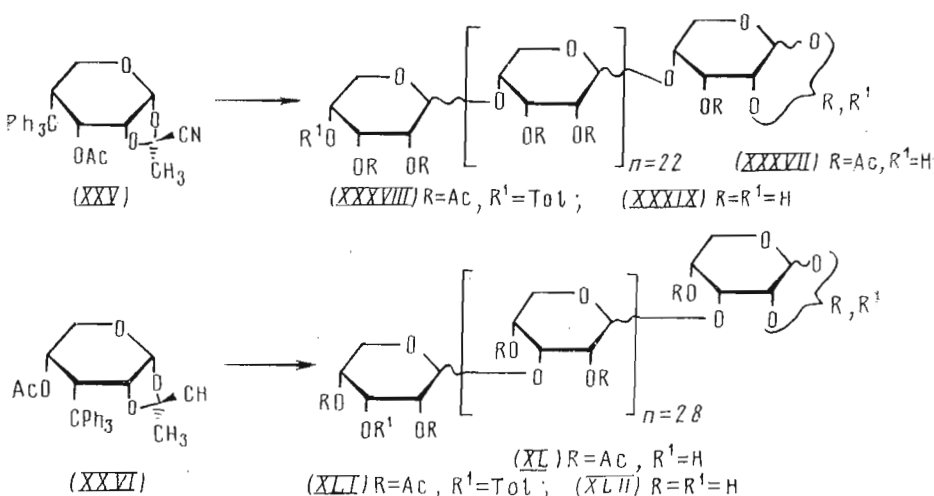


Схема 2



а также 20,8; 20,7 (CH_3CO) и 169,9; 168,6 (CH_3CO), характеризующие повторяющееся ($1 \rightarrow 4$)- β -D-Ribp-звено и защитные группы в нем. Кроме того, имелись сигналы меньшей интенсивности с δ 95,0 (C1) и 63,4 (C5), отвечающие ($1 \rightarrow 4$)- α -D-Ribp-звеньям. Отношение интегральных интенсивностей последних и соответствующих основных сигналов составило 1:4, что отвечает $\sim 20\%$ α -связей в соединении (XXXVII). В спектре ^1H -ЯМР продукта (XXXVII) присутствовали сигналы, отвечающие по химическим сдвигам и интегральным интенсивностям протонам повторяющегося звена и защитных групп в нем: 5,5 – 4,7, 4,2 – 3,5 и 1,9 – 2,2 м. д. (OAc). Присутствовали также сигналы с δ 7,20 – 7,45 м. д., интегральная интенсивность которых относилась к таковой всех ацетильных протонов как 1:10, а в спектре ^{13}C -ЯМР – сигналы соответствующих углеродных атомов с δ 127,1; 127,8 и 128,7. Аналогичные сигналы наблюдали в спектрах ЯМР полисахарида, полученного методом ТЦК в работе [20].

В спектре ^{13}C -ЯМР продукта (XL) имелись основные сигналы с хим. сдвигами 97,0 (C1), 68,6 (C2 и C3), 66,4 (C4), 61,5 (C5), а также 20,7 (CH_3CO), 169,6 и 170,0 (CH_3CO), характеризующие повторяющееся

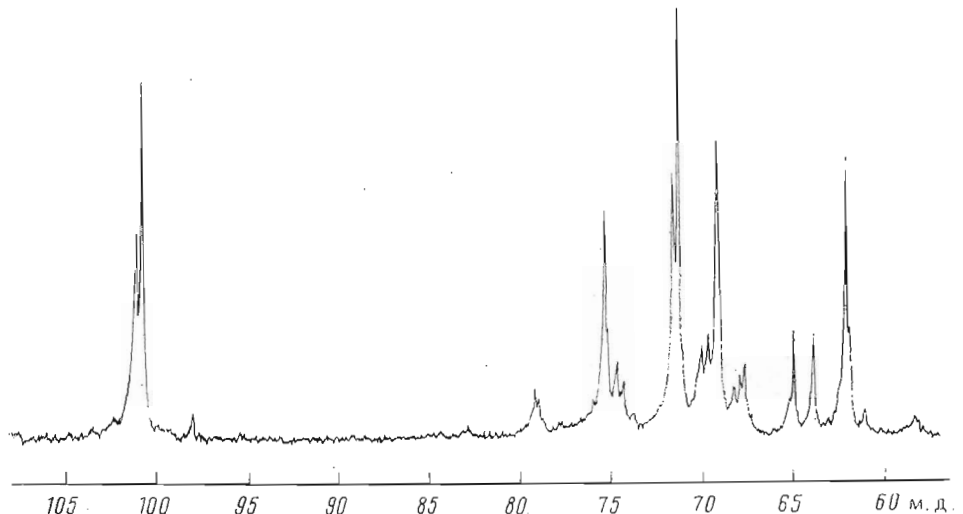


Рис. 1. Спектр ^{13}C -ЯМР (D_2O , δ , м. д.) свободного $(1\rightarrow 4)$ -*D*-рибопиранана (XXXIX)

$(1\rightarrow 3)$ - β -*D*-Ribp-звено и защитные группы в нем. Кроме того, имелись сигналы меньшей интенсивности с δ 95,0 (C1) и 67,85 (C2), отвечающие $(1\rightarrow 3)$ - α -*D*-Ribp-звеньям, отношение интегральных интенсивностей которых к интегральным интенсивностям соответствующих основных сигналов составляло 1 : 10, что отвечает $\sim 10\%$ α -связей в полисахариде (XL). В спектре ^1H -ЯМР продукта (XL) присутствовали сигналы, отвечающие по химическим сдвигам и интегральным интенсивностям протонов повторяющегося звена и защитных групп в нем с δ 5,2 – 4,8, 4,3 – 3,7 и 2,2 – 1,9 м. д. Присутствовали также сигналы с δ 7,2 – 7,3 м. д., интегральная интенсивность которых относилась к интенсивности сигналов всех ацетильных групп как 1 : 25. В спектре ^{12}C -ЯМР продукта (XL) присутствовали сигналы атомов углерода с δ 126,5; 127,9 и 129,1 м. д., которым могут принадлежать эти протоны (ср. с [20]).

Продукты поликонденсации (XXXVII) и (XL) толуилировали в производные (XXXVIII) и (XLI) для определения (см. [20] и цитированную там литературу) средней степени полимеризации (СП), которая составила 24 и 30 соответственно. Продукты толуилирования (XXXVIII) и (XLI) имели практически такие же спектры ^1H - и ^{13}C -ЯМР, как и исходные (XXXVII) и (XL). Отличие состояло в том, что появились сигналы толуильной группировки: в спектрах ^1H -ЯМР при 2,4 ($\text{H}_3\text{C}-\text{C}_{\text{аром}}$) и 8,0 м. д. для (XXXVIII) и (XLI), а в спектрах ^{13}C -ЯМР – 21,6; 129,1; 130,0 и 144,2 для (XXXVIII) и 21,7; 129,2; 129,7 и 130,0 для (XLI). Кроме того, из спектров толуилированных производных определили соотношение 1,2-*цис*- и 1,2-*транс*-рибопиранозидных звеньев в продуктах поликонденсации: отношение интегральных интенсивностей сигналов при 94,5 (C1- α) и 96,1 (C1- β) для $(1\rightarrow 4)$ -связанного (XXXVIII) составило 1 : 4, а при 94,2 (C1- α) и 97,1 (C1- β) для (XLI) – 1 : 9.

После дезацилирования MeONa в абс. MeOH получили свободные *D*-рибопирананы (XXXIX) и (XLII) (см. схему 2). В спектре ^{13}C -ЯМР $(1\rightarrow 4)$ -рибопиранана (XXXIX) присутствовали (рис. 1) основные сигналы β -*D*-Ribp-звеньев с δ 100,9 – 101,2 (C1), 71,3 – 71,6 (C2), 69,2 (C3), 75,3 (C4) и 62,1 (C5), а также сигналы малой интенсивности с δ 98,0 и 79,1 м. д., которые можно отнести к атомам C1 «восстанавливающего» конца и C4 α -гликозилированных *D*-Ribp-звеньев (см. табл. 6) полимерной цепи. По отношению интегральных интенсивностей сигналов с δ 79,1 и 75,3 м. д. количество α -связей в $(1\rightarrow 4)$ -рибопиранане (XXXIX) составило 18%.

В спектре ^{13}C -ЯМР $(1\rightarrow 3)$ -рибопиранана (XLII) наблюдались (рис. 2) основные сигналы β -*D*-Ribp-звеньев с δ 101,15 (C1), 71,4 (C2), 74,3 (C3), 68,25 (C4) и 65,3 м. д., а также сигналы малой интенсивности с δ 97,9

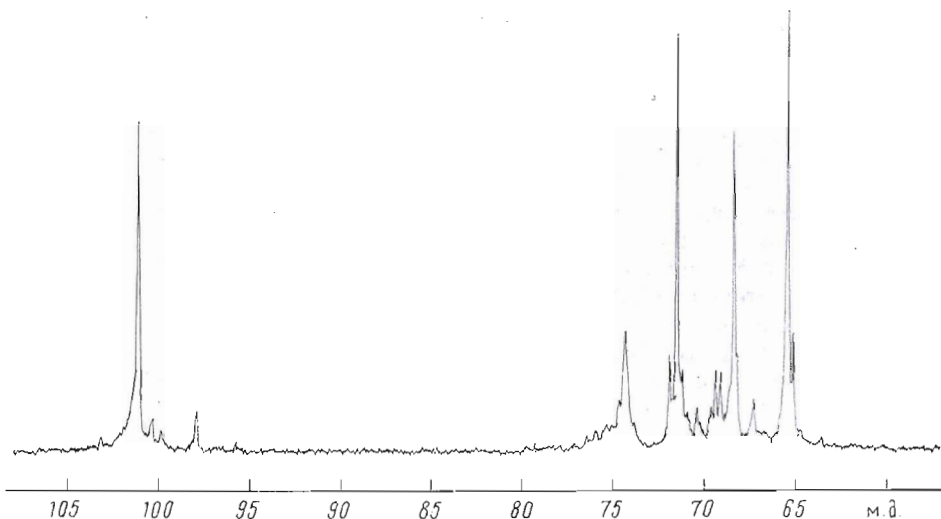


Рис. 2. Спектр ^{13}C -ЯМР (D_2O , δ , м. д.) свободного $(1\rightarrow 3)$ - D -рибопиранана (XLII)

и 76,0 м. д., которые можно отнести к атомам C1 «восстанавливающего» конца и C3 α -гликозилированных D -Ribp-звеньев (см. табл. 6) полимерной цепи. По отношению интегральных интенсивностей сигналов C3 в α - D -Ribp-звеньях и C3 в β - D -Ribp-звеньях количество 1,2-*цис*-связей в $(1\rightarrow 3)$ -рибопиранане (XLII) составило 11 %. Из этих же спектров (рис. 1 и 2) можно оценить и СП: соотношение интегральных интенсивностей сигналов с $\delta\sim 101$ м. д. (C1 повторяющегося звена) и сигналов ~ 98 м. д. (C1 «восстанавливающего» конца) составило 27 для $(1\rightarrow 4)$ -рибопиранана (XXXIX) и 29 для $(1\rightarrow 3)$ -рибопиранана (XLII). Эти величины хорошо согласуются с таковыми, определенными методом толуилирования (см. выше), однако к ним необходимо подходить с осторожностью, поскольку нет соответствующих модельных соединений и литературных аналогий.

Таким образом, методом ТЦК синтезированы $(1\rightarrow 4)$ - и $(1\rightarrow 3)$ - D -рибопирананы с высокими выходами, СП 24–30, содержащие 11–18 % α -гликозидных связей в цепи полимера. Сходные результаты по стереоселективности реакции ТЦК получены ранее в синтезах других пентопирананов. Так, $(1\rightarrow 3)$ - D -ксилан содержал до 11 %, а $(1\rightarrow 4)$ - D -ксилан – 9 и 26 % α - D -Xylp-звеньев [21], тогда как $(1\rightarrow 4)$ - и $(1\rightarrow 3)$ - L -арabinаны – до 25 % β - L -Агар-звеньев в цепи полимера.

Японские исследователи описали [23–25] синтезы $(1\rightarrow 4)$ - β - D -рибопиранана и $(1\rightarrow 5)$ - α - D -рибофуроанана полимеризацией производных 1,4-ангидро- α - D -рибопиранозы (1,5-ангидро- β - D -рибофуроанозы), предполагая, что этот ангидросахар (система 2,7-диоксабицикло[2.2.1]гептана) может раскрываться двояко. Анализ спектров ЯМР как продуктов полимеризации, так и свободных полисахаридов привел японских авторов к заключению, что в зависимости от условий реакции, природы катализатора и защитных групп в мономере образуется либо $(1\rightarrow 4)$ - β - D -рибопиранан, либо $(1\rightarrow 5)$ - α - D -рибофуроанан. По нашему мнению, отнесение одного из полимеров к пиранану, сделанное в работах [23–25], ошибочно.

Действительно, если воспользоваться данными спектров ^{13}C -ЯМР метил-(5-O- β - D -рибофуранозил)- β - D -рибофуранозида [26], синтезированного методом ТЦК, а также метилбиозида (XXX) и полисахарида (XXXIX), нетрудно видеть (табл. 7), что японские авторы имели дело с двумя аномерными $(1\rightarrow 5)$ - D -рибофурананами. Сравнение величин удельного вращения и химических сдвигов (табл. 7) соответствующих атомов углерода обсуждаемых производных D -Rib позволяет сделать вывод, что в работах [23–25] описан региоспецифический синтез $(1\rightarrow 5)$ - α - и β - D -рибофурананов.

Экспериментальная часть

Оптическое вращение измеряли на поляриметре DIP-360 (Jasco, Япония). Температуры плавления без поправок определяли на приборе Boetius РНМК 05 (ГДР). Спектры ЯМР сняты при $\sim 30^\circ\text{C}$ на приборах Bruker WM-250 и АМ-300 с рабочей частотой 250 и 300 МГц по ^1H и 62,89 и 75 МГц по ^{13}C соответственно (δ-шкала, внутренний стандарт — тетраметилсиликон, для растворов в D_2O и CD_3OD — метанол). Отнесение ключевых сигналов в спектрах ^1H -ЯМР выполнено при помощи селективного гетероядерного резонанса, в спектрах ^{13}C -ЯМР — методом селективного гетероядерного резонанса. Кроме того, для свободных метилбиозидов использовали технику двумерной записи спектров.

Колоночную хроматографию (КХ) и хроматографию в тонком слое (ТСХ) осуществляли на силикагеле как описано ранее [8, 11, 20] (там же см. подготовку реагентов и растворителей).

Использовали *D*-рибозу (для биохимических целей) и 4-(диметиламино)пиридин (98%) — препараты фирмы Merck (ФРГ), основной карбонат свинца (марки ч., СССР). Перхлорат трифенилметиля ($\text{Tr}^+\text{ClO}_4^-$) синтезирован по методу [29] как описано в работе [11], для дисахаридных синтезов и поликонденсации дополнительно очищен как описано ранее [30].

1,2,3,4-Тетра-O-ацетил-β-D-рибопираноза (I). К 600 мл смеси Ру— Ac_2O (1 : 1) при перемешивании и охлаждении добавили порциями (по мере растворения) 50 г *D*-рибозы с такой скоростью ($\sim 1,5$ ч), чтобы температура смеси была $0 \pm 5^\circ\text{C}$, и оставили на ночь при этой температуре. В реакционную смесь добавили 30 мл воды и через 30 мин вылили тонкой струйкой при интенсивном перемешивании в 1,5 л воды со льдом. Смесь экстрагировали хлороформом (2×200 мл), органический раствор промыли 3 М H_2SO_4 (4×150 мл), насыщенным водным NaHCO_3 (2×200 мл), водой (200 мл), высушили и упарили до сиропа, который высушили в вакууме. По данным спектров ЯМР, полученный продукт (100 г, 97%) представлял собой смесь четырех тетраацетатов (приведены δ H 1, $J_{1,2}$, δ C 1). 18% α -*D*-Ribp (5,99д, 3,3 Гц, 88,3), 65% β -*D*-Ribp (5,94д, 4,5 Гц, 90,6), 2% α -*D*-Ribf (6,35д, 4,5 Гц, 93,7) и 12% β -*D*-Ribf (6,08с и 97,8); лит. данные [3, 27].

Эту смесь растворили в 50 мл эфира, добавили гексан до легкого помутнения раствора (~ 100 мл) и оставили при $\sim 20^\circ\text{C}$. Через 1 сут маточник деканттировали, кристаллы промыли смесью эфир — гексан (1 : 3)

Таблица 7

Данные спектров ^{13}C -ЯМР (D_2O , δ, м.д.) и удельного вращения некоторых производных *D*-рибозы: метилгликозидов, метилбиозидов, (1→4)- α , β -пиранана и (1→5)- α - и β -фурананов

Вещество	C1	C2	C3	C4	C5	—OMe	$[\alpha]_D$, град	Примечания
β -Ribp-OMe	102,7	71,5	69,0	69,0	64,4	57,5	-105	Гликозид (III)
β -Ribp-(1→4)-	100,6	71,5	69,0	69,2	64,9		-116	Биозид (XXX)
β -Ribp-OMe	102,85	71,3	68,8	75,1	61,6	57,5		
[β -Ribp-(1→4)] _n	100,9	71,4	69,2	75,3	62,1	—	-76,5	Основные сигналы полисахарида (XXXIX)
β -Ribf-OMe	108,0	74,3	70,9	83,0	62,9	55,3	-63,0	Данные из работ [27] и [28]
β -Ribf-(1→5)-	108,25	75,2	71,8	83,8	63,8		-23,5	Данные из работы [26]
β -Ribf-OMe	109,0	74,9	72,0	82,1	70,3	56,1		По данным [23–25], это [β -Ribp-(1→4)] _n
[β -Ribf-(1→5)] _n	108,0	74,6	71,7	81,7	70,5	—	-66,4	Данные из работ [27] и [28]
α -Ribf-OMe	103,1	71,1	69,8	84,6	61,9	55,5	+146	Данные из работ [23–25]
[α -Ribf-(1→5)] _n	102,9	71,5	70,4	83,6	68,6	—	+164	Данные из работ [23–25]

и высушили в вакууме. Выход тетраацетата (I) составил 52 г (50%), R_f 0,7 (бензол — этилацетат, 3:2), т. пл. 112,5°C, $[\alpha]_D^{28} - 67^\circ$ (с 2,2; CHCl_3) (данные [5]). Найдено, %: С 49,24; Н 5,68. $C_{13}\text{H}_{18}\text{O}_9$. Вычисление, %: С 49,06; Н 5,66.

2,3,4-Три- O -ацетил- β -D-рибопиранозилбромид (II). Растворили 3,2 г (10 ммоль) тетраацетата (I) в 20 мл хлороформа, добавили 0,5 мл (5 ммоль) Ac_2O , 1,5 мл AcOH и 2,0 мл (27 ммоль) AcBr . К полученному раствору добавили по каплям при охлаждении раствор 0,5 мл (28 ммоль) H_2O в 2,0 мл AcOH с такой скоростью, чтобы температура реакционной смеси не превышала 10—15°C. Через 1 ч при ~20°C смесь тонкой струйкой вылили в 200 мл ледяной воды при интенсивном перемешивании, затем экстрагировали 120 мл смеси хлороформ — гексан (1:3), интенсивно встряхивая в делительной воронке не более 5 мин. Органический (верхний) раствор промыли холодными: водой (30 мл), насыщенным водным NaHCO_3 (3×30 мл), водой, высушили и упарили до сиропа, который высушали в вакууме. Получили 2,7 г (80%) ацетобромрибозы (II), которую немедленно вводили в реакцию в виде прокристаллизовавшейся массы, $[\alpha]_D^{27} - 139^\circ$ (с 1,0; CHCl_3) (данные [5]). Бромид (II) распадается в процессе ТСХ и дает при проявлении полосу от старта до середины пластиинки и плохо заметное, вначале бурое, по мере нагревания чернеющее пятно с R_f 0,75 (бензол — этилацетат, 3:2).

Метил- β -D-рибопиранозид (III). Растворили 6,0 г (37 ммоль) D-рибозы в 100 мл абс. MeOH , в который предварительно при охлаждении добавили 0,2 мл AcCl и кипятили с обратным холодильником 40 ч (ТСХ-контроль). Раствор нейтрализовали ($\text{pH} \sim 7$) при ~20°C основным карбонатом свинца (~5 г), деканттировали, центрифугировали, упарили до сиропа, который, по данным ТСХ (хлороформ — метанол, 4:1), представлял собой смесь в основном двух продуктов с R_f 0,8, R_{Rib} 1,6 и R_f 0,7, R_{Rib} 1,4 в соотношении ~4:1 и небольшого количества продукта с R_f 0,6, R_{Rib} 1,2. Из этой смеси КХ (5×30 см, хлороформ → хлороформ — метанол, 95:5) выделили 3,6 г сиропа (R_f 0,8), который растворили в ~10 мл этилацетата и оставили кристаллизоваться при —6°C на 72 ч. Маточник деканттировали, кристаллы промыли холодной смесью этилацетат — гексан, 1:1, высушили в вакууме и получили 2,8 г рибозида (III); из маточного раствора и промывок получили (как описано выше) еще 0,7 г кристаллов (III). Выход β -пиранозида (III) составил 3,5 г (53%), т. пл. 78°C, $[\alpha]_D^{25} - 105^\circ$ (с 1,5; H_2O) (данные [28]). Кроме того, выделили 0,6 г (9%) сиропообразного метил- α -D-рибопиранозида, R_f 0,7, $[\alpha]_D^{25} + 95^\circ$ (с 2,1; H_2O) (данные [28]). $^1\text{H-NMR}$ (D_2O): 3,48с (3Н, OMe), 3,60дд (1Н, $J_{5a,4}$ 2,1 и $J_{5a,5b}$ 11,0 Гц, H5a), 3,76—3,90м (3Н, H2, H4 и H5b), 4,00т (1Н, $J_{3,4}=J_{3,2}=2,9$ Гц, H3), 4,66д (1Н, $J_{1,2}$ 2,9 Гц, H1). $^{13}\text{C-NMR}$ (D_2O): 57,4 (OMe), 61,5 (C5), 68,2 (C2), 69,9 (C4), 71,2 (C3), 101,2 (C1) (данные [27]).

Метил-2,3,5-три- O -ацетил- β - и α -D-рибофуранозиды (IV) и (V). Кипятили 5 мин раствор, приготовленный (см. выше), исходя из 3,0 г D-рибозы, 30 мл абс. MeOH и 0,5 мл AcCl . После обработки (см. выше) реакционной смеси получили 3,4 г сиропа, который, по данным ТСХ (хлороформ — метанол, 4:1), представлял собой главным образом один продукт с R_f 0,6, R_{Rib} 1,2 с примесью незначительного количества продуктов с R_f 0,7, R_{Rib} 1,4 и исходной D-Rib (R_f 0,5). По данным спектров ЯМР (величины хим. сдвигов H1 и C1, D_2O) это смесь: 15% α -D-Ribf-OMe (5,06д, $J_{1,2}$ 4,2 Гц и 104,6), 75% β -D-Ribf-OMe (4,90с и 109,0), а также не более 10% в сумме α -D-Ribf-OMe (см. выше) и D-Rib (данные [27, 31]). Попытка разделить хроматографически однородную (R_f 0,6) смесь аномерных метилфуранозидов кристаллизацией не удалась, поэтому 3,1 г этого сиропообразного продукта растворили в 10 мл Ру, добавили 4,5 мл Ac_2O и оставили при ~20°C на ночь. В реакционную смесь добавили 1 мл MeOH и через 30 мин разбавили 90 мл смеси хлороформ — гексан, 1:2. Органический раствор промыли водой (40 мл), 10% водным KHSO_4 (2×40 мл), водой (40 мл), высушили и

упарили досуха. Остаток, по данным ТСХ (толуол — этилацетат, 3 : 2), представлял собой смесь двух продуктов с R_f 0,64 и 0,47 в соотношении ~5 : 1. КХ этой смеси привела к 2,7 г (51%) β -фуранозида (IV), $[\alpha]_D^{26} -14,5^\circ$ (с 2,5; CHCl_3) и 420 мг (8%) α -фуранозида (V), $[\alpha]_D^{26} +111^\circ$ (с 2,7; CHCl_3) (данные [27, 32]).

Метил-2,3-O-изопропилиден- и -3,4-O-изопропилиден- β -D-рибопиранозиды (VI) и (VII). В 20 мл ацетона, содержащего 10% по объему 2,2-диметоксипропана, растворили 830 мг (5,0 ммоль) рибозида (III), добавили 120 мг (0,6 ммоль) $\text{TsOH} \cdot \text{H}_2\text{O}$ и перемешивали при $\sim 20^\circ\text{C}$. Через 30 мин ТСХ (бензол — этилацетат, 2 : 3) показала отсутствие исходного (III) и образование смеси двух веществ с R_f 0,5 и 0,6 в соотношении ~2 : 1. Реакционную смесь пропустили через слой (2×4 см) нейтральной Al_2O_3 , смыли с носителем 300 мл ацетона, упарили до подвижного сиропа, КХ которого (бензол \rightarrow бензол — этилацетат, 1 : 1) привела к сиропообразным: 2,3-ацетониду (VI), 340 мг, R_f 0,6, $[\alpha]_D^{26} -61,4^\circ$ (с 2,1; CHCl_3), 3,4-ацетониду (VII), 560 мг, R_f 0,5, $[\alpha]_D^{26} -115^\circ$ (с 1,0; CHCl_3) и смеси ацетонидов (VI)+(VII), 90 мг, в соотношении 1 : 2. Таким образом, выход ацетонидов (VI)+(VII) составил 97%, а соотношение — 1 : 1,7 (данные [6, 7]).

Метил-2-O-ацетил- 3,4 - O - изопропилиден- β -D-рибопиранозид (IX). К раствору 620 мг (3 ммоль) 3,4-ацетонида (VII) в 3 мл Ру прибавили 1,2 мл (12 ммоль) Ac_2O , через 20 ч при $\sim 20^\circ\text{C}$ добавили 1 мл MeOH и через 30 мин разбавили 45 мл смеси хлороформ — гексан, 1 : 2. Органический раствор промыли (20 мл) охлажденными: водой, 5% водным KHSO_4 , водой, насыщенным водным NaHCO_3 , водой, высушими, упарили досуха, остаток высушими в вакууме и получили 630 мг (85%) ацетата (IX) в виде хроматографически однородного (R_f 0,70; бензол — этилацетат, 3 : 2) и спектрально (табл. 1 и 2) чистого сиропообразного остатка. Аналитический образец моноацетата (IX), полученный кристаллизацией из гексана при 0°C , имел те же хроматографическую и спектральные характеристики, т. пл. 82°C , $[\alpha]_D^{26} -144^\circ$ (с 1,3; CHCl_3). Найдено, %: С 53,60; Н 7,35. $\text{C}_{11}\text{H}_{18}\text{O}_6$. Вычислено, %: С 53,66; Н 7,32.

Метил-4-O-ацетил-2,3-O-изопропилиден - β - D-рибопиранозид (VIII). Исходя из 140 мг 2,3-ацетонида (VI), 1 мл Ру и 0,3 мл Ac_2O , как описано выше, получили 149 мг (86%) ацетата (VIII) в виде прозрачного бесцветного сиропа, R_f 0,72 (бензол — этилацетат, 3 : 2), $[\alpha]_D^{26} -43,4^\circ$ (с 2,0; CHCl_3).

Метил-2-O-ацетил- β -D-рибопиранозид (X). Раствор 600 мг (2,4 ммоль) 3,4-ацетонида (IX) в 6 мл 80% водной AcOH выдержали 3,5 ч при 45°C , упарили, остаток высушими в вакууме, растворили в минимальном количестве эфира, добавили по каплям гексан до легкого помутнения и затем еще несколько раз по мере кристаллизации до примерного удвоения первоначального объема. Кристаллы отделили декантацией, промыли смесью эфир — гексан, 1 : 2, высушими в вакууме и получили 410 мг (84%) 3,4-диола (X), R_f 0,1 (бензол — этилацетат, 3 : 2), т. пл. 95°C , $[\alpha]_D^{26} -84,2^\circ$ (с 1,3; CHCl_3). Найдено, %: С 46,63; Н 6,94. $\text{C}_8\text{H}_{14}\text{O}_6$. Вычислено, %: С 46,60; Н 6,80.

Метил-4-O-ацетил- β -D-рибопиранозид (XI). Аналогично (см. выше) исходя из 550 мг 2,3-ацетонида (VIII) после КХ (бензол \rightarrow бензол — этилацетат, 2 : 3) получили 380 мг (82%) сиропообразного 2,3-диола (XI), R_f 0,1 (бензол — этилацетат, 3 : 2), $[\alpha]_D^{26} -118^\circ$ (с 2,4; CHCl_3).

Тритилирование 3,4-диола (X). К раствору 480 мг (2,3 ммоль) 3,4-диола (X) в 6 мл дихлорметана, содержащего 0,43 мл (3,3 ммоль) 2,4,6-коллидина, добавили (несколько приемов по мере обесцвечивания реакционной смеси) при перемешивании 950 мг (2,8 ммоль) $\text{Tr}^+\text{ClO}_4^-$ и через 20 мин при $\sim 20^\circ\text{C}$ прилили 0,4 мл Ру, содержащего 2% воды. Реакционную смесь упарили со смесью гептан — этанол — толуол, 1 : 1 : 5, остаток подвергли КХ (3×25 см) в градиенте (гексан \rightarrow гексан — бензол, 1 : 1 \rightarrow бензол — этилацетат, 9 : 1). Получили 680 мг (66%) хроматогра-

фически (R , 0,50; бензол — этилацетат, 9 : 1) и спектрально (табл. 1 и 2) чистого 4-тритилового эфира (XII) в виде кристаллизующегося сиропа. Аналитический образец тритилового эфира (XII), полученный перекристаллизацией из эфира с добавлением (по каплям) по мере кристаллизации гексана, имел те же (см. выше) характеристики, т. пл. 156° С, $[\alpha]_D^{25} -74,3^\circ$ (с 2,2; CHCl_3). Найдено, %: С 72,00; Н 6,32. $\text{C}_{27}\text{H}_{28}\text{O}_6$. Вычислено, %: С 72,32; Н 6,25. Кроме того, получили 164 мг (15%) 3-тритилового эфира (XIII) в виде прозрачного бесцветного сиропа, R_f 0,45 (бензол — этилацетат, 9 : 1), $[\alpha]_D^{25} -52,7^\circ$ (с 1,1; CHCl_3).

Тритирирование 2,3-диола (XI) (330 мг, 1,6 ммоль) в 4 мл дихлорметана, содержащего 0,28 мл (2 ммоль) 2,4,6-кодидина, 580 мг (1,7 ммоль) $\text{Tr}^+\text{ClO}_4^-$, как описано выше, и последующая КХ (2×15 см) в градиенте (бензол → бензол — этилацетат, 9 : 1) дала сиропообразные эфиры: 420 мг (58%) 3-тритилового (XIV), R_f 0,46 (бензол — этилацетат, 9 : 1), $[\alpha]_D^{28} -40,5^\circ$ (с 2,0; CHCl_3) и 140 мг (19%) 2-тритилового (XV), R_f 0,56 (бензол — этилацетат, 9 : 1), $[\alpha]_D^{28} -0,70^\circ$ (с 2,01; CHCl_3).

Метил-2,3-ди-*O*-ацетил-4-*O*-трифенилметил-β-*D*-рибопиранозид (XVI). К раствору 575 мг (1,3 ммоль) моноацетата (XII) в 2,5 мл Ру добавили 0,5 мл (5 ммоль) Ac_2O и оставили при ~20° С на ночь (TCX-контроль). Через 17 ч осталось ~10% исходного (XII), поэтому смесь выдержали при 45° С еще 2 ч, охладили до ~10° С, добавили 1 мл МеОН и через 30 мин при ~20° С разбавили 90 мл смеси хлороформ — гексан, 1 : 2. Органический раствор промыли холодными: водой (30 мл), 5% водным KHSO_4 (30 мл), водой (2×30 мл), высушали, упарили, остаток кристаллизовали из эфира с гексапом. Выход диацетата (XVI) составил 550 мг (86%), R_f 0,60 (бензол — этилацетат, 9 : 1), т. пл. 152° С, $[\alpha]_D^{29} -63,8^\circ$ (с 1,0; CHCl_3). Найдено, %: С 69,96; Н 6,19. $\text{C}_{29}\text{H}_{30}\text{O}_7$. Вычислено, %: С 71,02; Н 6,12.

Метил-2,4-ди-*O*-ацетил-3-*O*-трифенилметил-β-*D*-рибопиранозид (XVII). 1) К раствору 164 мг (0,36 ммоль) моноацетата (XIII) в 1 мл Ру добавили 0,2 мл (2 ммоль) Ac_2O и оставили при ~20° С на ночь, однако реакция прошла лишь на 10% (TCX-контроль). В реакционную смесь добавили 2–3 мг 4-(диметиламино)пиридина и нагрели до 50° С, через 3 ч весь моноацетат (XIII) прореагировал. После обработки реакционной смеси (см. выше) получили 160 мг (90%) диацетата (XVII) в виде хроматографически (R_f , 0,65; бензол — этилацетат, 9 : 1) и спектрально (табл. 1 и 2) чистого кристаллизующегося сиропа.

2) При ацетилировании 380 мг (0,84 ммоль) изомерного моноацетата (XIV) в 3 мл Ру с помощью 0,35 мл (35 ммоль) Ac_2O тоже пришлось добавить 2–3 мг 4-(диметиламино)пиридина и нагревать реакционную смесь при 45° С в течение 5 ч (см. выше). После обработки реакционной смеси и кристаллизации остатка (эфир — гексан) получили 240 мг диацетата (XVII). КХ маточного раствора получили еще 100 мг диацетата (XVII); общий выход диацетата (XVII), полученного из моноацетата (XIV), составил 83%, а его характеристики не отличались от таковых для образца из опыта 1.

Перекристаллизация всего диацетата (XVII) (опыты 1 и 2) из эфира (с добавлением, по мере образования кристаллов, нескольких капель гексана) дала 490 мг кристаллического (XVII), т. пл. 172° С, $[\alpha]_D^{30} -68,8^\circ$ (с 1,0; CHCl_3). Найдено, %: С 70,02; Н 6,10. $\text{C}_{29}\text{H}_{30}\text{O}_7$. Вычислено, %: С 71,02; Н 6,12.

Метил-3,4-ди-*O*-ацетил-2-*O*-трифенилметил-β-*D*-рибопиранозид (XVIII). К раствору 90 мг (0,2 ммоль) моноацетата (XV) в 1 мл Ру добавили 0,1 мл (1 ммоль) Ac_2O и оставили при ~20° С на 50 ч. После обработки реакционной смеси (см. выше) получили 70 мг (71%) сиропообразного диацетата (XVIII), гомогенного по данным TCX (R_f , 0,62; бензол — этилацетат, 9 : 1) и спектров ЯМР (табл. 1 и 2). Аналитический образец (XVIII), полученный кристаллизацией из эфира с гексапом (1 : 9),

имел те же характеристики, а также т. пл. 126° С, $[\alpha]_D^{30} +27,0^\circ$ (с 2,0; CHCl_3). Найдено, %: С 70,80; Н 6,45. $\text{C}_{29}\text{H}_{30}\text{O}_7$. Вычислено, %: С 71,02; Н 6,12.

3,4-Ди-O-ацетил-1,2-O-[1-(экзо-циано)этилиден]- α -D-рибопираноза (XIX). Перемешивали 2,7 г (8 ммоль) гликозилбромида (II) и 800 мг (16 ммоль) NaCN в 10 мл абс. ацетонитрила при ~20° С в течение 20 ч. В реакционную смесь добавили 90 мл смеси хлороформ — гексан, 1:2, промыли водой (3×30 мл), упарили до подвижного сиропа, который нанесли на слой сухого силикагеля (1×2 см), смыли 100 мл смеси хлороформ — гексан, 1:2, и упарили досуха. Остаток растворили в 15 мл эфира, осторожно упарили при атмосферном давлении до начала кристаллизации и в течение нескольких часов при ~20° С добавили по мере кристаллизации ~2 мл гексана. Кристаллы отфильтровали, промыли смесью эфир — гексан, 1:1, высушили и получили 880 мг ацетала (XIX); КХ маточного раствора и последующая кристаллизация дала еще 860 мг кристаллического (XIX). Общий выход ацетала (XIX) в виде прозрачных бесцветных призм составил 1,7 г (76%), R_f 0,7 (бензол — этилацетат, 7:3), т. пл. 106° С, $[\alpha]_D^{25} -8,0^\circ$ (с 2,0; CHCl_3). Найдено, %: С 50,24; Н 5,22; N 4,87. $\text{C}_{12}\text{H}_{15}\text{NO}_7$. Вычислено, %: С 50,55; Н 5,27; N 4,75 (даные [4]).

1,2-O-[1-(экзо-Циано)этилиден]- α -D-рибопираноза (XX). К раствору 290 мг (1 ммоль) диацетата (XIX) в 4 мл Ру при ~20° С и перемешивании прилили 1 мл 0,05 М метилата натрия в абс. MeOH, через 2 мин добавили 0,1 мл 1 М AcOH в толуоле и упарили до хроматографически однородного (R_f , 0,4; метапол — бензол, 1:4) сиропа. Этот сироп растворили в 0,5 мл ацетона, добавили 15 мл эфира, раствор отфильтровали, упарили, остаток высушили в вакууме и получили 205 мг (99%) диола (XX) в виде кристаллической массы, индивидуального по данным ТСХ и ЯМР (табл. 3 и 4). Аналитический образец ацетала (XX), полученный перекристаллизацией из эфира с гексаном в виде тонких игл, имел те же (см. выше) характеристики, а также т. пл. 101° С, $[\alpha]_D^{30} -24,9^\circ$ (с 1,5; ацетон). Найдено, %: С 48,06; Н 5,47; N 6,80. $\text{C}_8\text{H}_{11}\text{NO}_5$. Вычислено, %: С 47,70; Н 5,47; N 6,86.

1,2-O-[1-(экзо-Метоксикарбонил)этилиден]- α -D-рибопираноза (XXI). К раствору 10,1 г (35 ммоль) диацетата (XIX) в 25 мл Ру прибавили 25 мл 0,05 М MeONa в абс. MeOH при ~20° С. Через 30 мин прилили 1,5 мл 1 М AcOH в толуоле и упарили до подвижного сиропа, который кристаллизовали из 50 мл эфира. Кристаллы отфильтровали, промыли эфиром, высушили в вакууме и получили 4,8 г (66%) диола (XXI), R_f 0,3 (метапол — бензол, 1:4), т. пл. 105° С, $[\alpha]_D^{25} -32,8^\circ$ (с 2,3; MeOH). Найдено, %: С 48,97; Н 6,22. $\text{C}_{12}\text{H}_{18}\text{O}_8$. Вычислено, %: С 49,60; Н 6,21.

Тритирирование бициклического 3,4-диола (XX). Растворили 540 мг (2,7 ммоль) диола (XX) в 9 мл дихлорметана, добавили 0,45 мл (3,4 ммоль) 2,4,6-коллидина и при перемешивании и охлаждении (~10° С) добавили 1,2 г (3,1 ммоль) $\text{Tr}^+\text{ClO}_4^-$. Спустя 10 мин охлаждение прекратили, и еще через 10 мин реакционная смесь приняла комнатную температуру, а ярко-желтая окраска раствора исчезла. К смеси прилили 0,6 мл Ру, содержащего 2% воды, разбавили 30 мл хлороформа, промыли водой (20 мл), 5% водным KHSO_4 (20 мл), водой (2×20 мл), органический раствор высушили, упарили до густого кристаллизующегося сиропа, который высушили в вакууме. Остаток (2,1 г) подвергли КХ (3×25 см) в градиенте бензол — гексан, 1:1 → бензол — этилацетат, 9:1. Получили 294 мг (25%) 4-тритиолового эфира (XXIII) в виде белой пены, индивидуального по данным ТСХ (R_f , 0,6; бензол — этилацетат, 95:5) и ЯМР (табл. 3 и 4), $[\alpha]_D^{25} -35,7^\circ$ (с 1,4; CHCl_3), 352 мг (31%) 3-тритиолового эфира (XXIV) в виде прокристаллизовавшейся массы, индивидуального по данным ТСХ (R_f , 0,5; бензол — этилацетат, 95:5) и ЯМР (табл. 3 и 4), а также 127 мг (10%) смеси изомеров (XXIII)+(XXIV) в соотношении 1:2. Аналитический образец 3-трити-

лового эфира (XXIV), полученный кристаллизацией из эфира с гексаном в виде бесцветных призм, имел те же (см. выше) характеристики, а также т. пл. 212–213° С, $[\alpha]_D^{20} +25,5^\circ$ (с 1,1; CHCl_3). Найдено, %: С 73,10; Н 5,71; N 3,10. $\text{C}_{27}\text{H}_{25}\text{NO}_5$. Вычислено, %: С 73,14; Н 5,64; N 3,16.

4-O-Ацетил-3-O-трифенилметил-1,2-O-[1-(экзо-циано)этилиден]- α -D-рибопираноза (XXVI). К раствору 590 мг (1,3 ммоль) 3-тритилового эфира (XXIV) в 3 мл Ру прилили 0,65 мл (6,5 ммоль) Ac_2O , оставили при $\sim 20^\circ \text{C}$ на ночь. Затем добавили при $\sim 10^\circ \text{C}$ 0,1 мл MeOH , добавили 150 мл смеси хлороформ — гексан, 1:2, промыли последовательно (по 30 мл) водой, 5% водным KHSO_4 , водой, насыщенным водным NaHCO_3 , водой. Органический раствор высушили, упарили досуха, остаток подвергли КХ (3×25 см) в градиенте гексан \rightarrow гексан — этилацетат, 3:1, и получили сиропообразный продукт, однородный по ТСХ (R_f 0,6; бензол — этилацетат, 95:5), который кристаллизовали из эфира. Кристаллы отделили декантацией, промыли 3 раза смесью эфир — гексан, 1:3, и высушили в вакууме. Выход мономера (XXVI) в виде прозрачных призм составил 550 мг (87%), т. пл. 164° С, $[\alpha]_D^{25} +21,5^\circ$ (с 1,6; CHCl_3). Найдено, %: С 72,41; Н 5,90; N 2,90. $\text{C}_{29}\text{H}_{27}\text{NO}_7$. Вычислено, %: С 71,75; Н 5,57; N 2,89.

3-O-Ацетил-4-O-трифенилметил-1,2-O-[1-(экзо-циано)этилиден] — α -D-рибопираноза (XXV). Исходя из 470 мг 4-тритилового эфира (XXIII), 2 мл Ру и 0,5 мл Ac_2O как описано выше, получили 455 мг (88%) мономера (XXV) в виде белой пены, индивидуального по данным ТСХ (R_f 0,7; бензол — этилацетат, 95:5) и ЯМР (табл. 3 и 4), $[\alpha]_D^{26} -14,1^\circ$ (с 3,0; CHCl_3).

3,4-Ди-O-ацетил-1,2-O-[1-(экзо-метокси)этилиден]- α -D-рибопираноза (XXII). Перемешивали при $\sim 20^\circ \text{C}$ в 15 мл абс. MeOH 3,1 г (9,2 ммоль) гликозилбромида (II) и 5 г основного карбоната свинца в течение 20 мин. Раствор отделили декантацией, центрифугировали, упарили до подвижного сиропа, который растворили в $\frac{1}{4}$ мл эфира, добавили 4 мл гексана и оставили при -6°C на 3 сут. Кристаллы отделили декантацией, промыли смесью эфир — гексан, 1:2 (2×2 мл), высушили в вакууме и получили 1,52 г (57%) ортоэфира (XXII), R_f 0,6 (бензол — этилацетат, 3:2), т. пл. 77° С, $[\alpha]_D^{26} +1,7^\circ$ (с 2,4; CHCl_3). Найдено, %: С 48,97; Н 6,22. $\text{C}_{12}\text{H}_{18}\text{O}_8$. Вычислено, %: С 49,60; Н 6,21. Из маточного раствора получили еще 0,57 г (18%) ортоэфира (XXII) в виде кристаллизующегося сиропа, идентичного по данным ТСХ и ЯМР (табл. 3 и 4) заведомому (см. выше) образцу (данные [5]).

Общая методика гликозилирования тритиловых эфиров (XVI), (XVII) ацеталем (XIX) и поликонденсации мономеров (XXV), (XXVI). Реакции проводили в ампулах с двумя пальцеобразными отростками (λ). В верхней части ампула снабжена шлифом для крана, с помощью которого она присоединяется к вакуумной (10^{-3} мм Hg) установке. В один отросток ампулы поместили ~ 1 М раствор реагентов (ацетала и тритилового эфира в абс. бензоле — в случае гликозилирования, мономера — в случае поликонденсации), а в другой — раствор ($\sim 0,2$ М) катализатора ($\text{Tr}^+\text{ClO}_4^-$) в абс. нитрометане. Содержимое ампулы заморозили жидким азотом и лиофилизовали, затем в отросток с реагентами перегнали ~ 2 мл бензола (предварительно дважды перегнан в вакууме над CaH_2), реагенты растворили и лиофилизовали еще раз. Лиофилизованные реагенты высушили при 50°C в течение 1,5 ч. В ампулу перегнали 2 мл дихлорметана (предварительно дважды перегнан в вакууме над CaH_2), содержимое обоих отростков растворили и перемешали. Полученный так ярко-желтый прозрачный раствор ($\sim 0,5$ М по каждому из реагентов и $\sim 0,05$ М по катализатору) оставили при $\sim 20^\circ \text{C}$ на 20 ч в защищенном от света месте. Ампулу заполнили сухим аргоном и, убедившись (ТСХ с заведомым образцом) в отсутствии исходного ацетала (гликозилирование) или мономера (поликонденсация), обесцветили ярко-желтую прозрачную смесь добавлением $\sim 0,1$ мл пиридина, содержащего 2% воды.

Реакционную смесь разбавили в 20–30 раз хлороформом, промыли трижды водой, высушили, упарили досуха. Остаток подвергли КХ в градиенте необходимых растворителей, объединяя все фракции, содержащие дисахаридные производные (гликозилирование) или продукт поликонденсации.

Метил-2,3-ди-O-ацетил-4-O-(2,3,4-три-O-ацетил- β -(XXIX)- и - α -(XXXI)-D-рибопиранозил)- β -D-рибопиранозиды. Исходя из 200 мг (0,70 ммоль) ацетала (XIX) и 380 мг (0,77 ммоль) 4-тритилового эфира (XVI) в присутствии 24 мг (0,07 ммоль) $\text{Tr}^+\text{ClO}_4^-$ после КХ (3×30 см) смеси продуктов реакции в градиенте гексан→этилацетат получили 298 мг (84%) бесцветного сиропообразного продукта с R_f 0,32 (бензол – этилацетат, 7 : 3) и $[\alpha]_D^{31} -88,7^\circ$ (с 1,7; CHCl_3), который представлял собой (табл. 5 и 6) смесь ацетатов (1→4)-дисахаридов (XXIX) и (XXXI) в соотношении 89 : 19.

Метил-2,4-ди-O-ацетил-3-O-(2,3,4-три-O-ацетил- β -(XXXIII)- и - α -(XXXV)-D-рибопиранозил)- β -D-рибопиранозиды. Исходя из 150 мг (0,52 ммоль) и 280 мг (0,57 ммоль) 3-тритилового эфира (XVII) в присутствии 17 мг (0,05 ммоль) $\text{Tr}^+\text{ClO}_4^-$ после КХ (3×30 см) смеси продуктов реакции в градиенте гексан→этилацетат получили 220 мг (84%) бесцветного сиропообразного продукта с R_f 0,32 (бензол – этилацетат, 7 : 3) и $[\alpha]_D^{31} -79,4^\circ$ (с 1,9; CHCl_3), который представлял собой (табл. 5 и 6) смесь ацетатов (1→3)-дисахаридов (XXXIII) и (XXXV) в соотношении 87 : 13.

Метил-4-O- β -(XXX)- и - α -(XXXII)-D-рибопиранозил- β -D-рибопиранозиды. К раствору 280 мг (0,55 ммоль) смеси ацетатов (1→4)-дисахаридов (XXIX) и (XXXI) в 2 мл абс. MeOH добавили 1 мл раствора 0,01 М MeONa в абс. MeOH . Через 2 ч при 50°С смесь обработали катионитом КУ-2 (H^+), отфильтровали, раствор упарили досуха, остаток высушили в вакууме, получили 139 мг (86%) продукта с R_f 0,33 (метанол – бензол, 7 : 3), представлявшего собой (табл. 5 и 6) смесь (1→4)-дисахаридов (XXX) и (XXXII) в соотношении 4 : 1. КХ (2×15 см) в градиенте этилацетат→этилацетат – метанол, 4 : 1, удалось выделить 100 мг чистого дисахарида (XXX), R_f 0,33 (метанол – бензол, 7 : 3), $[\alpha]_D^{27} -116^\circ$ (с 1,2; MeOH).

Метил-3-O- β -(XXXIV)- и - α -(XXXVI)-D-рибопиранозил- β -D-рибопиранозиды. Исходя из 200 мг (0,40 ммоль) смеси ацетатов (1→3)-дисахаридов (XXXIII) и (XXXV), 1,5 мл абс. MeOH , 0,7 мл 0,01 М MeONa в абс. MeOH , как описано выше, получили 103 мг (87%) продукта с R_f 0,33 (бензол – метанол, 7 : 3), представлявшего собой (табл. 5 и 6) смесь (1→3)-дисахаридов (XXXIV) и (XXXVI) в соотношении 87 : 13, после КХ удалось выделить 65 мг чистого дисахарида (XXXIV), R_f 0,33 (бензол – метанол, 7 : 3), $[\alpha]_D^{27} -139^\circ$ (с 1,0; MeOH).

(1→4)-D-Рибопиранан (XXXIX). Из 490 мг (1 ммоль) мономера (XXV) в присутствии 35 мг (0,1 ммоль) $\text{Tr}^+\text{ClO}_4^-$ и последующей КХ (2×15 см) в градиенте гексан→ацетон получили (см. общую методику гликозилирования и поликонденсации) 216 мг (100%) сиропообразного продукта (XXXVII), R_f 0,0–0,2 (хлороформ – ацетон, 3 : 7), R_f 0,25–0,45 (бензол – метанол, 9 : 1), $[\alpha]_D^{29} -58,0^\circ$ (с 2,5; CHCl_3).

К раствору 165 мг продукта поликонденсации (XXXVII) в 2 мл абс. Ру добавили 0,2 мл (1,5 ммоль) *пара*-толуилюрода и оставили при ~20°С на 20 ч. К охлажденной (~10°С) реакционной смеси добавили 0,3 мл абс. MeOH , разбавили 40 мл хлороформа, полученный раствор промыли последовательно (по 20 мл) водой, насыщенным водным NaHCO_3 , водой, 10% водным KHSO_4 , водой. Органический раствор высушили, упарили, остаток подвергли КХ (2×12 см) в градиенте бензол→хлороформ→хлороформ – ацетон, 4 : 1, и получили 161 мг продукта (XXXVIII), R_f 0,36–0,59 (бензол – метанол, 9 : 1), $[\alpha]_D^{33} -46,1^\circ$ (с 2,4; CHCl_3). Отношение интегральных интенсивностей сигналов с δ 2,4 м. д. ($\text{H}_3\text{C-C}_{\text{аром}}$) и 1,9–2,2 м. д. (OAc) составило 1 : 22.

К раствору 130 мг толуилированного продукта (XXXVIII) в 4 мл абс. дихлорметана добавили 0,3 мл 1 М MeONa в абс. MeOH и перемешивали 20 ч при $\sim 20^\circ\text{C}$. Осадок отфильтровали, промыли 10 мл смеси дихлорметан — метанол, 2 : 1, и высушали в вакууме, полоса поглощения сложноэфирной карбонильной группы в ИК-спектре (KBr) отсутствовала. После лиофилизации из D₂O получили 77 мг (90%) свободного (1→4)-рибопиранана (XXXIX), $[\alpha]_D^{20} -76,5^\circ$ (*c* 2,7; D₂O).

(1→3)-*D*-Рибопиранан (XLII). Аналогично из 490 мг мономера (XXVI) в присутствии 35 мг Tr⁺ClO₄⁻ получили 210 мг (97%) продукта поликонденсации (XL) в виде сиропообразного остатка с *R*, 0,0—0,2 (хлороформ — ацетон, 3 : 7), *R*, 0,25—0,45 (бензол — метанол, 9 : 1), $[\alpha]_D^{28} -98,3^\circ$ (*c* 3,0; CHCl₃).

Толуилированием 180 мг продукта (XL) получили 180 мг толуилата (XLI), *R*, 0,36—0,53 (бензол — метанол, 9 : 1), $[\alpha]_D^{34} -90,6^\circ$ (*c* 2,3; CHCl₃). Отношение интегральных интенсивностей сигналов с δ 2,4 м.д. (H₃C-C_{аром.}) и 2,0—2,2 м.д. (OAc) составило 1 : 27.

В результате дезацилирования 180 мг продукта (XLI) получили 99 мг (90%) свободного (1→3)-рибопиранана (XLII), не имеющего полосы поглощения сложноэфирной карбонильной группы в ИК-спектре (KBr). Весь продукт (XLII) растворили в 2 мл D₂O, профильтровали, осадок промыли ~ 2 мл D₂O, фильтрат лиофилизовали и получили 62 мг растворимой фракции (XLII), $[\alpha]_D^{28} -121^\circ$ (*c* 3,1; D₂O), а также (после высушивания в вакууме) 37 мг нерастворимой фракции продукта (XLII).

СПИСОК ЛИТЕРАТУРЫ

1. Betaneli V. I., Ott A. Ya. // XVth International Carbohydr. Symp. Yokohama, 1990. P. 154.
2. Kochetkov N. K. // Tetrahedron. 1987. V. 43. № 11. P. 2389–2436.
3. Coxon B. // Tetrahedron. 1966. V. 22. № 7. P. 2281–2302.
4. Cano F. H., Foces-Foces C., Jimenez-Barbero J., Alemany A., Bernabe M., Martin-Lomas M. // Tetrahedron. 1986. V. 42. № 9. P. 2539–2549.
5. Levene P. A., Tipson R. S. // J. Biol. Chem. 1931. V. 92. P. 109–113.
6. Hughes N. A., Maycock C. D. // Carbohydr. Res. 1974. V. 35. P. 247–250.
7. Inokawa S., Mitsuyoshi T., Kavamoto H., Yamamoto H., Yamashita M. // Carbohydr. Res. 1985. V. 142. № 2. P. 321–323.
8. Бетанели В. И., Кряжевских И. А., Отт А. Я., Кочетков Н. К. // Биоорган. химия. 1989. Т. 15. № 2. С. 217–230.
9. Backinowsky L. V., Tsvetkov Yu. E., Balan N. F., Bayramova N. E., Kochetkov N. K. // Carbohydr. Res. 1980. V. 85. № 2. P. 209–221.
10. Кочетков Н. К., Отт А. Я., Шашков А. С. // Изв. АН СССР. Сер. хим. 1988. № 1. С. 200–209.
11. Бетанели В. И., Брюханова О. В., Отт А. Я., Кочетков Н. К. // Биоорган. химия. 1990. Т. 16. № 3. С. 390–401.
12. Бетанели В. И., Овчинников М. В., Бакиновский Л. В., Кочетков Н. К. // Изв. АН СССР. Сер. хим. 1979. № 12. С. 2751–2758.
13. Backinowsky L. V., Byramova N. E., Tsvetkov Yu. E., Betaneli V. I. // Carbohydr. Res. 1981. V. 98. № 2. P. 181–193.
14. Байрамова Н. Э., Бакиновский Л. В., Кочетков Н. К. // Изв. АН СССР. Сер. хим. 1987. № 5. С. 1120–1125.
15. Непогодьев С. А., Бакиновский Л. В. // Биоорган. химия. 1986. Т. 12. № 5. С. 711–713.
16. Бакиновский Л. В., Нифантьев Н. Э., Бетанели В. И., Стручкова М. И., Кочетков Н. К. // Биоорган. химия. 1983. Т. 9. № 1. С. 74–86.
17. Бакиновский Л. В., Нифантьев Н. Э., Кочетков Н. К. // Биоорган. химия. 1983. Т. 9. № 8. С. 1089–1096.
18. Шашков А. С., Чижов О. С. // Биоорган. химия. 1976. Т. 2. № 4. С. 437–496.
19. Bock K., Pedersen Ch., Pedersen H. // Adv. Carbohydr. Chem. Biochem. 1984. V. 42. P. 193–225.
20. Бетанели В. И., Отт А. Я. // Биоорган. химия. 1991. Т. 17. № 10. С. 1390–1400.
21. Бакиновский Л. В., Нифантьев Н. Э., Шашков А. С., Кочетков Н. К. // Биоорган. химия. 1984. Т. 10. № 9. С. 1212–1228.
22. Кочетков Н. К., Отт А. Я., Шашков А. С. // Изв. АН СССР. Сер. хим. 1986. № 1. С. 196–199.
23. Uryu T., Kitano K., Ito K., Yamanouchi J., Matsuzaki K. // Macromolecules. 1981. V. 14. № 1. P. 1–9.
24. Uryu T., Yamanouchi J., Kato T., Higuchi Sh., Matsuzaki K. // J. Amer. Chem. Soc. 1983. V. 105. № 23. P. 6865–6871.

25. Uryu T., Yamanaka M., Date M., Ogawa M., Hatanaka K. // Macromolecules. 1988. V. 21. № 7. P. 1916–1920.
26. Gass J., Christian R., Kosma P., Schulz G., Unger F. M. // Carbohydr. Res. 1988. V. 180. № 2. P. 243–251.
27. Bock K., Pedersen Ch. // Adv. Carbohydr. Chem. and Biochem. 1983. V. 41. P. 27–66.
28. Bishop C. T., Cooper F. P. // Can. J. Chem. 1963. V. 41. № 11. P. 2743–2758.
29. Dauben H. J., Jr., Honnen L. R., Harmon K. M. // J. Org. Chem. 1960. V. 25. № 8. P. 1442–1445.
30. Kochetkov N. K., Betaneli V. I., Ovchinnikov M. V., Backinowsky L. V. // Tetrahedron. 1981. V. 37. Supplement 9. P. 149–156.
31. Angyal S. J. // Carbohydr. Res. 1979. V. 77. P. 37–50.
32. Angyal S. J., Stevens J. D., Odier L. // Carbohydr. Res. 1986. V. 157. P. 83–94.

Поступила в редакцию
27.V.1994

V. I. BETANELI, A. Ya. OTT, N. K. KOCHETKOV

CHEMICAL SYNTHESIS OF METHYL-(1→3)- AND -(1→4)-
 $\text{-D-RIBOPYRANOSYL-}\beta\text{-D-RIBOPYRANOSIDES, (1→3)- AND}$
 $(1\rightarrow4)\text{- D-RIBOPYRANANES}$

N. D. Zelinsky Institute of Organic Chemistry, Academy of Sciences of the USSR,
 Moscow

By means of the trityl-cyanoethylidene condensation method, anomeric pairs of methyl-D-ribopyranosyl- β -D-ribopyranosides ((1→3)-linked, overall yield 84%, $\beta : \alpha = 7.3 : 1$, and (1→4), 84%, $\beta : \alpha = 4.3 : 1$), and two D-ribopyrananes ((1→3)-linked, 90% yield, 11% α -linkages, average degree of polymerization 30, and (1→4), 97%, 18%, 27, respectively) have been synthesized starting with D-ribose. No typical correlations between the anomeric carbon atom chemical shifts and the glycosidic centre configuration for the afore mentioned compounds were revealed. Intramolecular cyclisation of 1,2-O-[1-(exo-cyano)ethylidene]- α -D-ribopyranose as well as its 3-trityl ether into 1,2,4-orthoacetyl- α -D-ribopyranose and 1,2,4-orthoacetyl-3-O-triphenylmethyl- α -D-ribopyranose, respectively, have been observed.